

基于 TinyViT 与 ResNet18 的图像分类模型实验

杨竞舟 2025011317

2025 年 11 月 18 日

摘要：采用 TinyViT 与 ResNet18 模型，在 CIFAR-10 数据集上进行图像分类实验，比较两种模型的性能表现。分为从零训练和预训练微调两种方式，评估损失下降和训练准确度。通过实验，学习 ResNet 和 Transformer 经典模型的原理结构，掌握其在图像分类任务中的应用方法。评估 TinyViT 和 ResNet18 在 CIFAR-10 数据集上的表现差异，分析各自的优缺点。

开源 GitHub 代码仓库地址：<https://github.com/heroyjz/tinyvit-vs-resnet-cifar10>

关键字：Vit; TinyViT; ResNet; 预训练微调; 蒸馏

目录

1 实验目的	2
2 实验环境	2
3 实验内容	2
3.1 CNN 基线（ResNet-18）	2
3.2 Transformer 对照（TinyViT-5M）	3
3.3 可视化与案例分析	3
4 Models	3
4.1 基础 1: ResNet	3
4.1.1 梯度消失与爆炸	3
4.1.2 残差链接	4
4.1.3 ResNet-18 结构	4
4.2 基础 2: Transformer	5
4.2.1 注意力机制	6
4.2.2 多头注意力	6
4.2.3 Encoder Decoder	7
4.2.4 Decoder Only	7
4.3 ViT & TinyViT	8
4.3.1 Vision Transformer (ViT)	8
4.3.2 TinyViT	9
5 Coding Design	10
5.1 模块依赖	10
5.2 训练伪代码设计	10
6 Results	11
7 Conclusion	13
参考文献	13

一 实验目的

- 学习 ResNet 架构
- 学习 transformer 架构
- 理解 transformer 在视觉领域的应用: ViT
- 动手使用 TinyViT 和 ResNet18, 在个人 PC(laptop RTX-4070)上做小规模图像数据集(CIFAR-10)训练
- 评估指标和知识总结

二 实验环境

硬件

- CPU: Intel(R) Core(TM) i7-14700HX (WSL2 上可见 8 线程)
- GPU: NVIDIA GeForce RTX 4070 Laptop, 驱动 581.42, CUDA 13.0
- 内存: ≥ 16 GB (本地实验在 32 GB RAM 上完成)

系统

- Windows 11 + WSL2, 内核 `Linux 6.6.87.2-microsoft-standard-WSL2`
- glibc 2.39, `bash` 终端
- Conda 虚拟环境 `vit`

软件

- Python 3.11.7
- PyTorch 2.9.0+cu130 (CUDA runtime 13.0, cuDNN 91300), TorchVision 0.24.0+cu130
- library: `timm`、`matplotlib`、`pandas`、`tensorboard` (可选, 用于日志/可视化)

三 实验内容

3.1 CNN 基线 (ResNet-18)

- 目标: 以经典卷积残差网络 ResNet-18 作为参照, 衡量在小型数据集上“微调 vs. 从零训练”的效果差异。
- 方法: 分别加载 ImageNet-1k 预训练权重和随机初始化权重, 在 CIFAR-10 上以相同的数据增强、优化器和训练计划进行 30 轮训练。预训练版本作为迁移学习基线, 随机初始化版本用于衡量纯 CIFAR 训练的上限。
- 参数选择: 输入分辨率统一为 224×224 , 以便与 TinyViT 保持一致; 优化器选用 AdamW + Cosine LR (初始学习率 $3e-4$ 、weight decay 0.05), 结合 RandAugment 与 RandomResizeCrop, 使 CNN 与 Transformer 在相同的正则化条件下比较; batch size 128 足以填满 RTX 4070 显存并确保统计稳定。

- 指标：关注训练/验证 loss、accuracy 曲线和最终测试精度，用于评估卷积架构在 CIFAR-10 上的收敛速度与泛化能力。

3.2 Transformer 对照 (TinyViT-5M)

- 目标：在与 ResNet 完全一致的训练设置下，比较轻量级 Vision Transformer TinyViT 在预训练与从零训练两种模式下的表现，检验“预训练知识迁移”对 Transformer 的影响。
- 方法：选择 TinyViT-5M（先在 ImageNet-22k 上训练，再在 1k 上微调的权重），保持输入尺寸、batch size、优化器、数据增强等参数不变，分别进行微调与随机初始化训练。
- 参数选择：保持 30 个 epoch 的训练预算，记录 TinyViT 微调在前 6–10 个 epoch 的快速收敛，同时允许在需要时提前终止（考虑到 transformer 在普通 GPU 的运算复杂度）；学习率调度与 ResNet 相同，确保比较指标一致。
- 指标：和 ResNet 一样关注 train/val loss、accuracy，并额外分析 TinyViT 在相同训练预算下的吞吐量与算力开销，展示 Transformer 在小数据集上的效率差异与精度优势。

3.3 可视化与案例分析

- 为每次运行输出 `metrics.csv`、`config.json`、`best.pt`、`last.pt`，确保实验可复现。
- 通过编写可视化脚本，生成 Train/Val Loss 与 Accuracy 的四象限对比图，突出四种设置（ResNet/TinyViT × 预训练/从零）的差异，并在曲线末尾标注最终数值。
- 利用展示脚本随机抽取 CIFAR-10 图像展示实际预测结果，配合图表形成完整的定量+定性分析。

通过以上设置，可以在相同的硬件预算与训练超参数下比较 Transformer 与 CNN 的迁移学习效果，清晰说明预训练对 TinyViT 的收益，并用数据/图表支持“在小型数据集上是否值得使用 ViT”这一问题。

四 Models

4.1 基础 1：ResNet

ResNet [1] 是为了解决传统卷积神经网络中的深度失效问题，由 XX 提出的一种神经网络架构。其核心思想是引入残差连接 (Residual Connections)，通过跳跃连接将输入直接传递到后续层，形成所谓的“残差块” (Residual Blocks)。这种设计使得网络能够学习到恒等映射，从而缓解了随着网络加深而导致的梯度消失和梯度爆炸问题。

4.1.1 梯度消失与爆炸

设一个没有残差连接的深层网络，其第 l 层到第 $l + 1$ 层的映射为

$$x_{\{l+1\}} = f_l(x_l), l = 0, \dots, L - 1$$

损失函数为 \mathcal{L} 。在反向传播时，第 l 层处的梯度为

$$\frac{\partial \mathcal{L}}{\partial x_l} = \frac{\partial \mathcal{L}}{\partial x_L} \prod_{k=l}^{L-1} \frac{\partial x_{k+1}}{\partial x_k} = \frac{\partial \mathcal{L}}{\partial x_L} \prod_{k=l}^{L-1} J_k$$

其中 $J_k = \frac{\partial x_{k+1}}{\partial x_k}$ 为第 k 层的雅可比矩阵。

在网络足够深时，多个雅可比矩阵相乘会导致以下问题：

- 若这些矩阵的谱半径（例如最大奇异值）普遍小于 1，则连乘结果的范数迅速衰减，出现梯度消失；
- 若谱半径普遍大于 1，则连乘结果迅速放大，出现梯度爆炸。

因此，在传统深层网络中，梯度在层与层之间的传播极易出现数值不稳定。

4.1.2 残差链接

ResNet 引入了残差块（residual block），将层的映射从直接学习 $H(x)$ 改为学习残差形式

$$H(x) = x + F(x, W)$$

其中：

- x 为块的输入；
- $F(x, W)$ 是若干卷积、批归一化（Batch Normalization）、非线性激活等运算的组合，称为“残差分支”；
- x 通过一条不作变换的恒等短路连接（identity shortcut）直接与 $F(x, W)$ 的输出相加。

在这种结构下，残差块的前向传播可以写为

$$y = F(x, W) + x$$

网络整体不再是单纯的“堆叠非线性变换”，而是大量“输入 + 残差修正”的组合。为反向传播提供了一个 ShortCut。在反向传播时，考虑单个残差块对输入 x 的梯度为

$$\frac{\partial \mathcal{L}}{\partial x} = \frac{\partial \mathcal{L}}{\partial y} \left(\frac{\partial F(x, W)}{\partial x} + I \right),$$

在合适的初始化和归一化条件下（He/Kaiming 正态初始化 & BatchNorm），可以期望 $\frac{\partial F(x)}{\partial x}$ 的“尺度”相对较小，从而 $\frac{\partial F(x)}{\partial x} + I$ 的谱半径更接近 1。换言之，即便残差分支的梯度不稳定，恒等项 I 仍然为梯度提供了一条近似不衰减的直通路径，使得梯度可以更稳定地从深层传回浅层。

4.1.3 ResNet-18 结构

残差块里首先有 2 个有相同输出通道数的 3x3 卷积层。每个卷积层后接一个批量规范化层和 ReLU 激活函数。然后我们通过跨层数据通路，跳过这 2 个卷积运算，将输入直接加在最后的 ReLU 激活函数前。这样的设计要求 2 个卷积层的输出与输入形状一样，从而使它们可以相加。如果想改变通道数，就需要引入一个额外的 1x1 卷积层来将输入变换成需要的形状后再做相加运算。

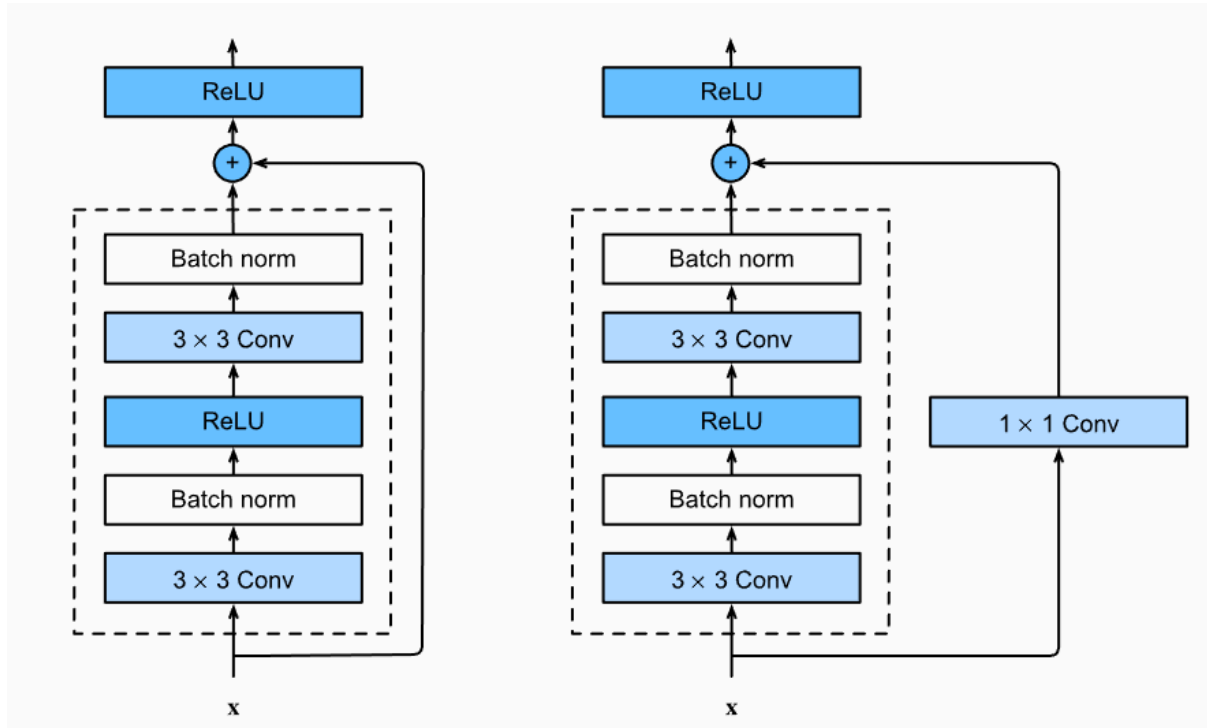


图 1 ResNet 残差块结构示意图

图 x 展示了 ResNet-18 的基本构建模块。ResNet-18 的输入由一个 7×7 卷积层和一个 3×3 最大池化层组成，用于初步提取图像特征并降低空间分辨率。残差卷积部分由 4 个阶段（stage）组成，每个阶段包含若干个残差块。每个阶段的第一个残差块可能会通过步幅为 2 的卷积来减小空间分辨率，同时增加通道数。具体结构如下：

- Stage 1: 2 个残差块，输出通道数 64
- Stage 2: 2 个残差块，输出通道数 128
- Stage 3: 2 个残差块，输出通道数 256
- Stage 4: 2 个残差块，输出通道数 512

在经过 4 个阶段后，ResNet-18 使用全局平均池化层将空间维度降至 1×1 ，然后通过一个全连接层输出最终的分类结果。该设计使其在保持较低计算复杂度的同时，能够有效地学习深层特征表示，广泛应用于各种计算机视觉任务中。

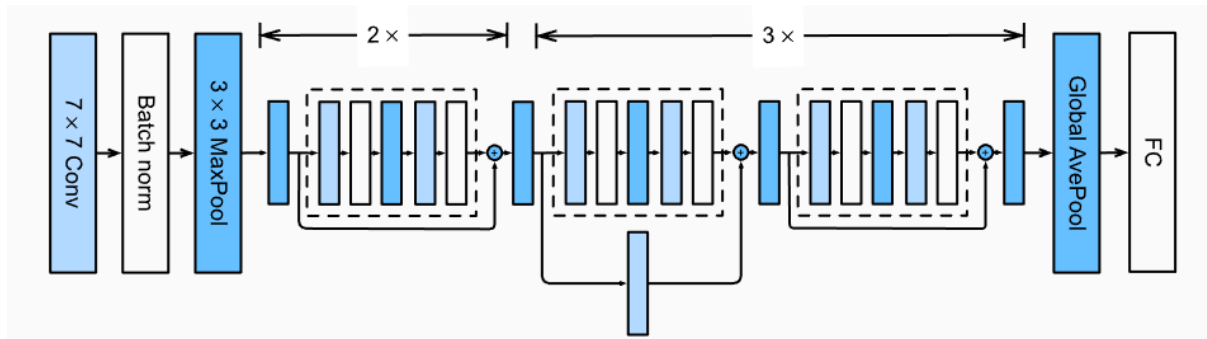


图 2 ResNet-18 网络结构示意图

4.2 基础 2：Transformer

在 transformer [2] 的论述中我只覆盖关注的核心原理。其细节部分可以参考 *Dive into Deep Learning* [3] 的 transformer 章节。或参考原文或其他海量互联网资料。

4.2.1 注意力机制

$$\begin{aligned}
 X &\in R^{\{d \times n\}} \\
 W_Q &\in R^{\{d_k \times d\}}, \quad W_K \in R^{\{d_k \times d\}}, \quad W_V \in R^{\{d_v \times d\}} \\
 Q &= W_Q X \quad (Q \in R^{\{d_k \times n\}}) \\
 K &= W_K X \quad (K \in R^{\{d_k \times n\}}) \\
 V &= W_V X \quad (V \in R^{\{d_v \times n\}}) \\
 S &= \frac{Q^T K}{\sqrt{d_k}} \quad (S \in R^{\{n \times n\}}) \\
 A &= \text{softmax}(S) \\
 Y &= V A^T \quad (Y \in R^{\{d_v \times n\}}) \\
 \text{Attention}(Q, K, V) &= V \cdot \text{softmax}\left(\frac{Q^T K}{\sqrt{d_k}}\right)^T
 \end{aligned}$$

- X 是原始向量，如词嵌入或图像块嵌入矩阵
- Q (Query)、K (Key)、V (Value) 是通过线性变换从 X 得到的表征空间矩阵
- 注意力机制通过计算 Q 和 K 的相似度来生成注意力权重 A，Softmax 确保权重归一化可微
- 注意力是权重对 V 的加权和，表征了输入 X (一段话或一幅图) 在表征空间中的自相关性

4.2.2 多头注意力

多头注意力将 Q、K、V 分别线性映射为 h 组子空间，独立计算注意力，然后将 h 个输出拼接并线性变换回原始维度。这样做允许模型在不同子空间中捕捉不同的相关性模式，增强表达能力

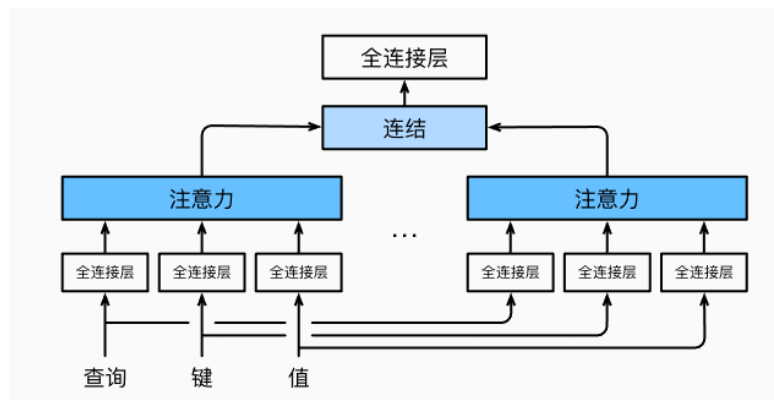


图 3 多头注意力结构图

4.2.3 Encoder Decoder

Transformer 原文

Encoder 架构由多头自注意力模块、前馈网络 (MLP) 模块、LayerNorm 和残差连接组成，其中：

- 多头自注意力模块用于在同一序列内部构建全局依赖关系，通过多头在不同子空间中并行建模多种“谁和谁相关”的模式，从而解决 RNN 长程依赖难建模、CNN 感受野有限的问题。
- 前馈网络 (MLP) 模块用于对每个位置的表征独立进行非线性变换，在不改变序列结构的前提下提高单点表示的表达能力，弥补注意力本身近似线性的不足。
- LayerNorm 用于对每个位置的特征做归一化，稳定各层输入的数值尺度，减小内部分布漂移，使深层网络在较大学习率下仍然易于优化。
- 残差连接用于在子层外部提供接近恒等映射的通路，使信息与梯度可以直接跨层传播，从而缓解网络加深带来的梯度消失和表示退化问题。

Decoder 架构由 masked 多头自注意力模块、encoder-decoder 多头注意力模块、前馈网络 (MLP) 模块、LayerNorm 和残差连接组成，其中：

- masked 多头自注意力模块用于在目标序列内部建模自回归依赖关系，通过对未来位置施加 mask，确保生成第 t 个 token 时仅依赖先前已生成的前缀序列。
- encoder-decoder 多头注意力模块用于以 Encoder 输出为键值 (K/V)，从源序列的编码表示中选择与当前解码位置最相关的信息，实现对输入条件的显式对齐与利用。
- 前馈网络 (MLP)、LayerNorm 与残差连接在 Decoder 中的作用与在 Encoder 中相同，分别负责增强单点非线性表达、稳定数值分布与梯度、保证多层次堆叠下的可训练性。

4.2.4 Decoder Only

尽管原始 Transformer 架构在多项任务中表现出色，但研究者发现，在某些情况下，仅使用解码器部分就能达到甚至超越完整 Transformer 的性能。这一发现导致了 Decoder-Only Transformer 架构的兴起，它在语言建模和生成任务中表现尤为出色。

Decoder-Only Transformer 相比完整的 Encoder-Decoder 结构有以下优势：

1. 参数效率：去除编码器后，模型参数量减少，但性能不减。
2. 训练简化：无需处理编码器-解码器之间的交互，简化了训练过程。
3. 自回归特性：天然适合语言生成任务。
4. 灵活性：可以轻松适应各种 NLP 任务，包括分类、生成和问答等。

下图可见，Decoder-Only 已经逐渐成为了大语言模型的主流架构选择。

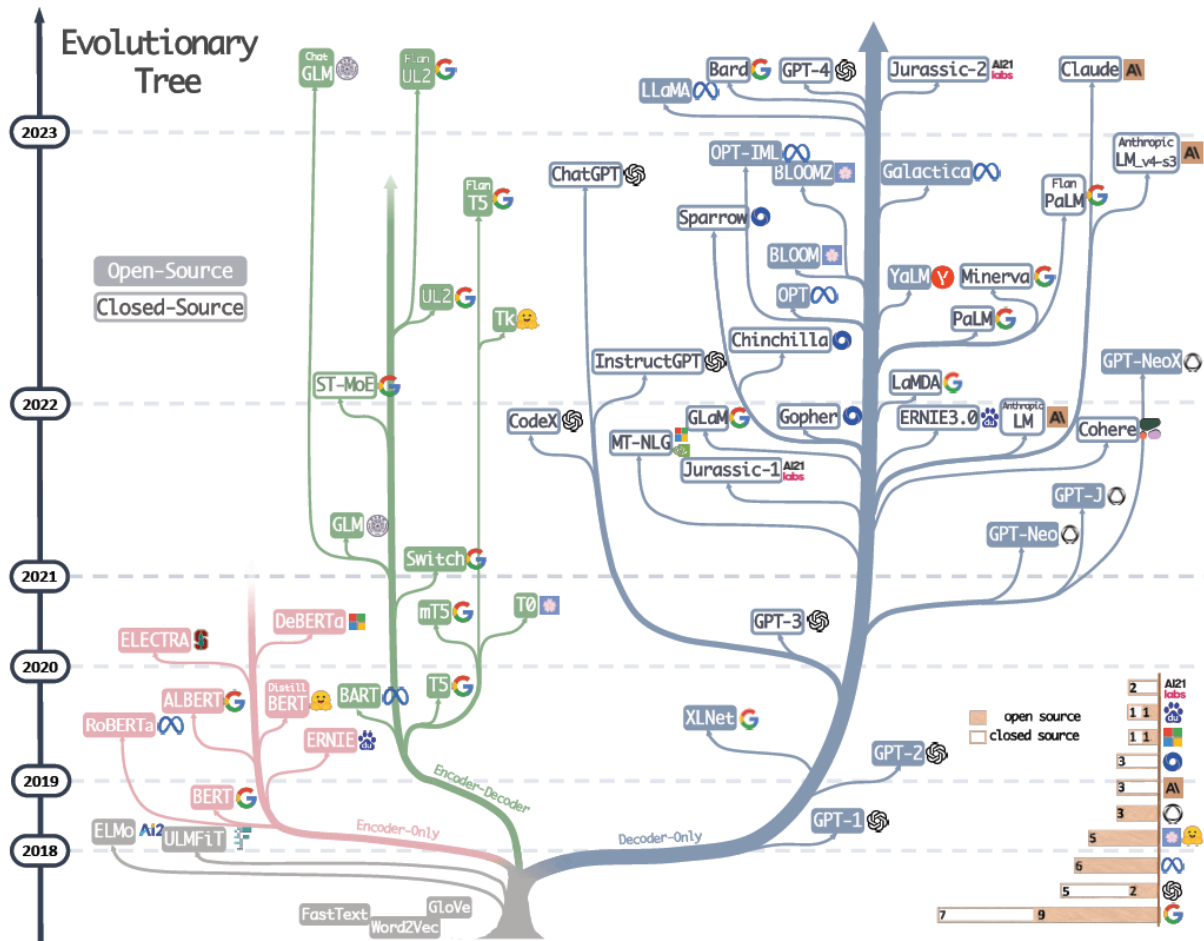


图 4 大语言模型的演变树

4.3 ViT & TinyViT

4.3.1 Vision Transformer (ViT)

ViT [4] 是 2020 年 Google 团队提出的将 Transformer 应用在图像分类的模型，虽然不是第一篇将 transformer 应用在视觉任务的论文，但是因为其模型“简单”且效果好，可扩展性强（scalable，模型越大效果越好），成为了 transformer 在 CV 领域应用的里程碑著作，也引爆了后续相关研究。

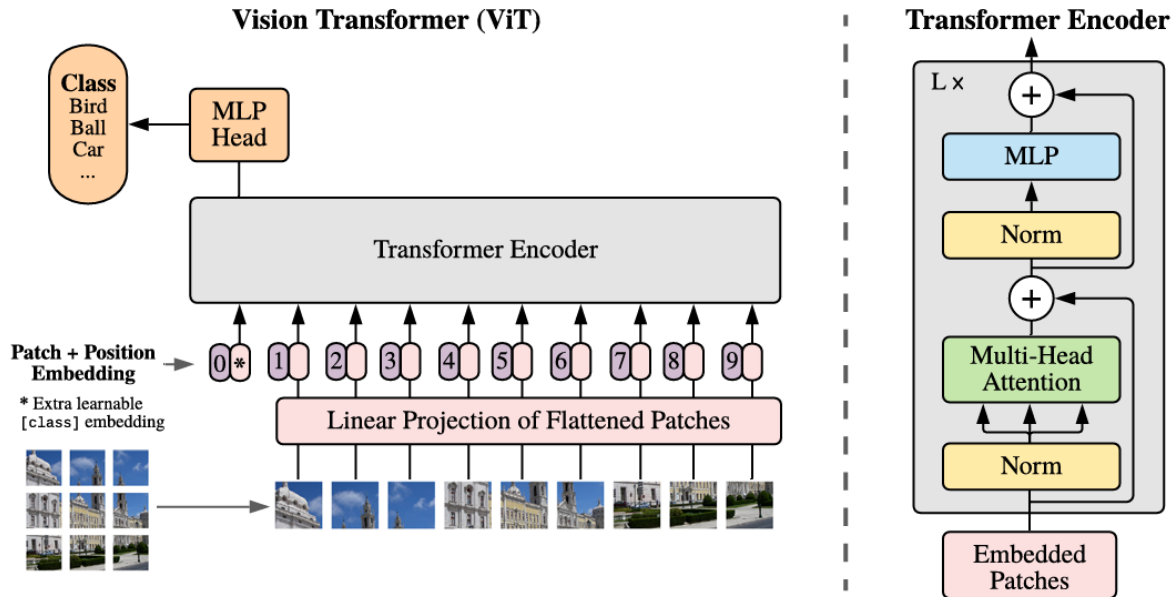


图 5 vit 结构示意图

如图, vit 将图像拆成 patch, 每个 patch 展平并线性映射为一个向量, 类似于 NLP 中的词嵌入。然后将这些 patch 嵌入序列输入到标准的 transformer encoder 中进行处理。为了让模型学习图像的空间位置信息, ViT 还引入了位置编码 (positional encoding)。最后通过一个分类 token 的输出进行图像分类。

ViT 原论文中最核心的结论是, 当拥有足够多的数据进行预训练的时候, ViT 的表现就会超过 CNN, 突破 transformer 缺少归纳偏置的限制, 可以在下游任务中获得较好的迁移效果。但是当训练数据集不够大的时候, ViT 的表现通常比同等大小的 ResNets 要差一些, 因为 Transformer 和 CNN 相比缺少归纳偏置 (inductive bias), 即一种先验知识 (局部相似性和平移不变形)。

4.3.2 TinyViT

TinyViT [5] 采用知识蒸馏方法提取了大模型的知识, 并结合轻量级设计原则, 构建了适合资源受限环境的高效视觉 Transformer 模型。本文旨在做较为初级的机器学习实验, 故选择 TinyViT 作为 Transformer 的代表模型进行实验。不深究其蒸馏细节。下面是 Transformer 模型常见压缩方法概述

量化 (Quantization): 将权重和/或激活由高精度浮点 (如 FP32) 压缩为低比特表示 (如 FP16、INT8、INT4), 在尽量保持模型精度的前提下显著减少存储和带宽占用, 并利用低精度算力提高推理速度。常用方式包括后训练量化和量化感知训练。

剪枝 (Pruning): 按照重要性指标删除部分参数或子结构, 以降低计算量和参数量。非结构化剪枝产生稀疏权重, 压缩率高但对硬件友好度有限; 结构化剪枝以通道、注意力头、整层等为单位裁剪, 更容易带来实际推理加速。

知识蒸馏 (Knowledge Distillation): 通过大模型 (Teacher) 的输出分布或中间表征指导小模型 (Student) 训练, 使小模型在显著较小的规模下逼近大模型性能。蒸馏常与量化、剪枝结合, 用于弥补压缩带来的精度损失。

低秩分解与因子分解 (Low-Rank / Factorization)：利用权重矩阵的冗余，将大矩阵近似分解为低秩矩阵乘积，如 ($W \approx AB$)，从而减少参数数目和矩阵乘法的计算复杂度。常应用于注意力投影和 MLP 权重。

参数共享与结构缩减 (Parameter Sharing & Architecture Scaling)：通过在层间共享权重，或直接减少层数、注意力头数、隐藏维度等结构超参数，构造更紧凑的 Transformer 变体。通常配合知识蒸馏，以在较小结构下维持可接受的任务性能。

稀疏与结构化注意力 (Sparse / Structured Attention)：对标准全连接注意力施加结构约束，仅在局部窗口、块结构或特定模式下计算注意力，减少 ($O(n^2)$) 的计算与显存开销。该类方法在长序列场景中尤为重要，可视为对注意力算子的结构级压缩。

五 Coding Design

本项目的编码设计围绕四类脚本展开：

- 训练脚本（`train_resnet_cifar.py`、`train_tinyvit_cifar.py`）
- 结果可视化脚本（`train_show_resnet.py`、`compare_runs.py`、`plot_four_panels.py`）
- 案例展示脚本（`show_resnet_example.py`）
- 环境/工具脚本（`check.py`、`env_setup.md`）

5.1 模块依赖

- PyTorch** (`torch`, `torchvision`)：负责模型训练、自动求导、CIFAR-10 数据加载与 DataLoader 构建。`torch.cuda.amp` 提供 AMP 支持，`torch.utils.data.Subset` 用于可复现的 train/val 划分。
- timm**：统一模型入口，通过 `timm.create_model` 创建 ResNet-18 与 TinyViT-5M，支持 `pretrained=True/False`、`num_classes=10` 等参数。
- Matplotlib / Pandas**：解析 `metrics.csv` 并绘制 train/val loss 与 accuracy 曲线；`compare_runs.py`、`plot_four_panels.py` 与 `train_show_resnet.py` 均依赖二者。
- 其他工具**：`json` 负责保存运行配置；`argparse` 管理命令行参数；`csv` 用于训练阶段的指标落盘。

5.2 训练伪代码设计

整体训练流程伪代码如下

```
function main():
    args ← parse_args()                      # 读取外部配置（模型、预训练、超参）
    set_seed(args.seed)                        # 固定随机性
    device ← select_device(args.device)        # 优先使用 GPU

    (train_loader, val_loader, test_loader) ← create_dataloaders(args)    # 统一数据管线
    model ← create_model(args).to(device)     # timm 加载模型及权重
    criterion ← CrossEntropyLoss
    optimizer ← create_optimizer(model, args)
```

```

scheduler ← create_scheduler(optimizer, args)
scaler ← GradScaler(enabled = use_amp_on(device)) # AMP 混合精度

best_val_acc ← 0
for epoch in 1..args.epochs: # 主训练循环
    train_stats ← train_one_epoch(model, train_loader, criterion,
                                   optimizer, device, scaler,
                                   epoch, args.log_interval,
                                   args.use_amp, args.mixup, args.cutmix)
    val_stats ← evaluate(model, val_loader, criterion, device)
    log_metrics(epoch, train_stats, val_stats, current_lr(optimizer)) # 写入 CSV
    save_checkpoint(last_ckpt, model, optimizer, scaler, args) # 持久化 latest
    if val_stats.acc > best_val_acc: # 维护 best
        best_val_acc ← val_stats.acc
        save_checkpoint(best_ckpt, model, optimizer, scaler, args)
    if scheduler ≠ None:
        scheduler.step()

load_checkpoint(best_ckpt, model) # 载入验证集最优权重
test_stats ← evaluate(model, test_loader, criterion, device)
report(test_stats) # 输出测试损失/精度/吞吐

```

单次 epoch 训练的代码如下

```

function train_one_epoch(...):
    model.train()
    init running_loss, running_correct, total_samples
    for each batch (images, targets) in loader:
        images, targets ← move_to_device(images, targets, device) # 数据搬运
        (images_aug, targets_a, targets_b, lam) ← maybe_mix_targets(...) # Mixup/CutMix
        optimizer.zero_grad()
        with autocast(enabled = use_amp): # 混合精度前向
            outputs ← model(images_aug)
            loss ← lam * criterion(outputs, targets_a)
            + (1 - lam) * criterion(outputs, targets_b)
        scaler.scale(loss).backward() # 缩放反向
        scaler.step(optimizer)
        scaler.update()
        update_running_metrics(running_loss, running_correct, total_samples,
                               loss, outputs, targets)
    return aggregate_stats(running_loss, running_correct, total_samples)

```

六 Results

从预训练和从零训练的损失和准确率曲线对比来看，预训练微调的模型在训练初期就表现出较低的损失和较高的准确率，说明预训练权重提供了良好的初始化，有助于模型快速收敛。而从零训练的模型则需要更长时间才能达到类似的性能水平。

在训练集和验证集上, TinyViT 的微调都是表现最好的(只用了 21 轮 FineTune 就达到了 98.36% 的验证集精度)。其次是 ResNet-18 的 30 轮微调, 说明传统 ResNet 架构在小数据集上依然具有较强的表现力。相比之下, 从零训练的模型无论是 ResNet-18 还是 TinyViT, 性能都明显落后于预训练版本, 验证集精度分别为 83.16% 和 88.02%。

值得注意的是, ResNet-18 在 CIFAR-10 上的微调表现好于 TinyViT-5M 的从零训练, 说明在数据有限的情况下, 传统卷积网络仍然具有一定优势。

从零训练的实验对比中, TinyViT-5M 的表现好于 ResNet-18, 验证集精度分别为 88.02% 和 83.16%, 可能和 TinyViT-5M 本身是蒸馏自大模型有关。

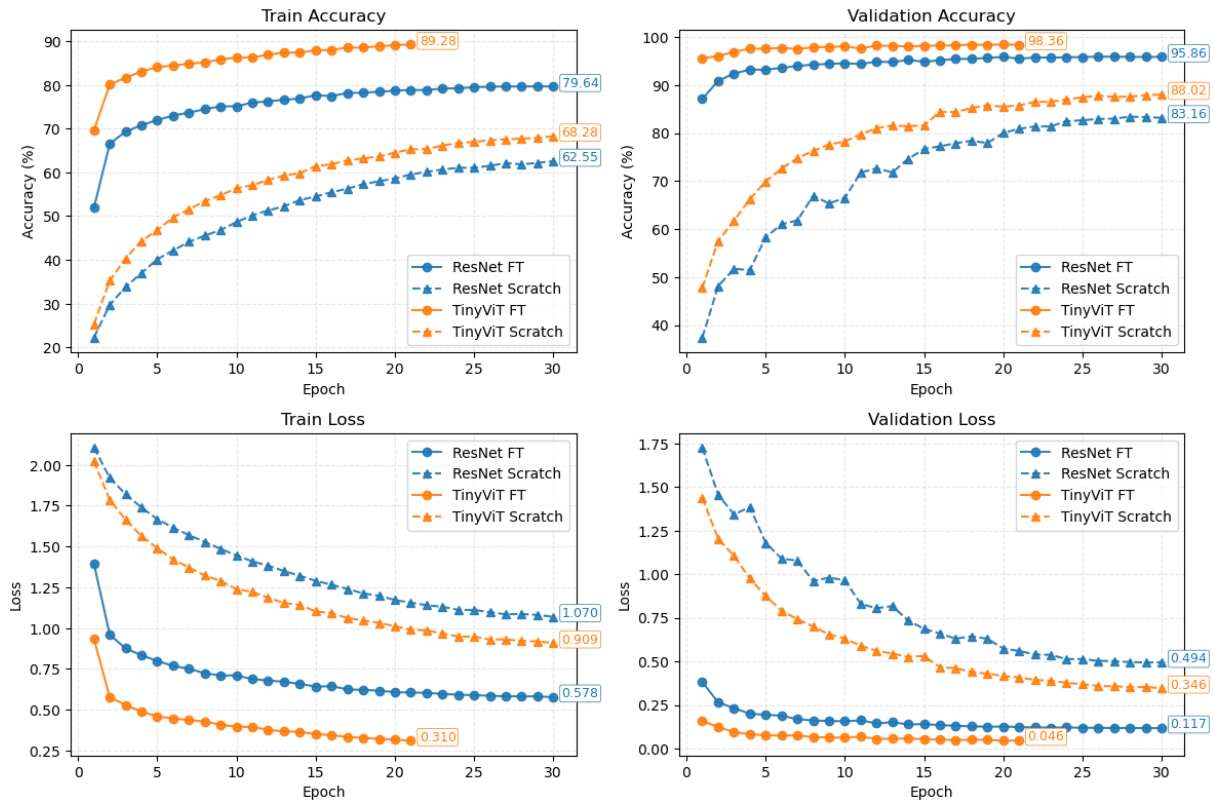


图 6 ResNet-18 在 CIFAR-10 上的训练与验证损失、准确率曲线

表 1 中, TinyViT-5M 微调在 CIFAR-10 上取得了 98.36% 的验证集准确率, 显著优于 ResNet-18 的 95.86%。同时, TinyViT-5M 的训练准确率也达到了 89.28%, 表明其在训练集上拟合能力较强。验证损失方面, TinyViT-5M 微调的 0.046 远低于 ResNet-18 的 0.117, 显示出更好的泛化性能。

表 1 ResNet-18 与 TinyViT-5M 在 CIFAR-10 数据集上的性能比较表

Model	Pretrained	Epochs	Val Acc (%)	Train Acc (%)	Val Loss
ResNet-18 FT	Yes	30	95.86	79.64	0.117
ResNet-18 Scratch	No	30	83.16	62.55	0.494
TinyViT-5M FT	Yes	21	98.36	89.28	0.046
TinyViT-5M Scratch	No	30	88.02	68.28	0.346

另外, 本实验也支持对训练集中的图片做分类可视化, 如图 7 是一个卡车在 tinyvit-ft 下的正确分类结果展示。



图 7 案例：卡车在 tinyvit-ft 下的正确分类结果

七 Conclusion

通过本次实验，学习了 ResNet 的残差连接设计，理解其缓解深层网络的梯度失效问题的本质。学习了 Transformer 的自注意力机制和多头注意力设计，理解了其在捕捉全局依赖关系方面的优势。通过 TinyViT 模型，了解了轻量级视觉 Transformer 的架构特点及其在资源受限环境下的应用潜力。

通过实验设计和 coding 运行，我们比较了 ResNet-18 和 TinyViT-5M 两种经典模型在 CIFAR-10 数据集上的表现，重点考察了预训练微调与从零训练两种方式的差异。

实验结果显示，预训练微调显著优于从零训练，TinyViT-5M 微调在验证集上达到了 98.36% 的准确率，远超 ResNet-18 的 95.86%。这表明预训练权重为模型提供了良好的初始化，有助于快速收敛和提升泛化能力。同时，TinyViT-5M 在从零训练时也优于 ResNet-18，显示出 Transformer 架构在小数据集上的潜力。

参考文献

- [1] K. He, X. Zhang, S. Ren, 和 J. Sun, 《Deep Residual Learning for Image Recognition》，收入 *Proceedings of the IEEE Conference on Computer Vision and Pattern Recognition (CVPR)*, 2016. doi: [10.1109/CVPR.2016.90](https://doi.org/10.1109/CVPR.2016.90).
- [2] A. Vaswani 等, 《Attention Is All You Need》，收入 *Advances in Neural Information Processing Systems*, 2017. doi: [10.48550/arXiv.1706.03762](https://doi.org/10.48550/arXiv.1706.03762).
- [3] A. Zhang, Z. C. Lipton, M. Li, 和 A. J. Smola, *Dive into Deep Learning*. d2l.ai, 2023. [在线]. 载于: <https://d2l.ai/>

- [4] A. Dosovitskiy 等, 《An Image is Worth 16x16 Words — Transformers for Image Recognition at Scale》, 2021 年. doi: [10.48550/arXiv.2010.11929](https://doi.org/10.48550/arXiv.2010.11929).
- [5] K. Wu 等, 《TinyViT — Fast Pretraining Distillation for Small Vision Transformers》, 收入 *European Conference on Computer Vision (ECCV)*, 2022.